

Uma sugestão para o tratamento das dimensões na Teoria das Supercordas

Gentil Lopes da Silva*

19 de janeiro de 2006

“Tudo isso, que à primeira vista parece excesso de irrazão, na verdade é o efeito da finura e da extensão do espírito humano e o método para encontrar verdades até então desconhecidas.” **Voltaire (17^a Carta)**

Resumo: Neste trabalho mostramos uma técnica para transitar entre dimensões arbitrárias: seja no sentido de reduzir, quanto elevar, uma dimensão à outra. Cremos que o mesmo possa ser útil ao entendimento de algumas questões concernentes às dimensões na Teoria das Supercordas. Em resumo: provamos a possibilidade teórica (matemática) da *transposição* de dimensões.

1 Introdução

A teoria física das supercordas só possui consistência em um *espaço multidimensional* ([1]). Um dos campos de pesquisa desta teoria é o que estuda como estas dimensões estão inter-relacionadas com as três dimensões (espaciais) conhecidas. É exatamente neste contexto que situa-se o nosso trabalho, pois mostramos como podemos “conectar” um número arbitrário de dimensões.

O presente trabalho se constitui numa continuação do anterior ([6]), sendo aquele um pré-requisito para o entendimento deste, inclusive no que diz respeito a notações.

2 Uma construção simplificada da curva de Peano

O século *XIX* se iniciou com a descoberta de que curvas e funções não precisam ser do tipo bem comportado, o que até então se supunha. Peano[†] em 1890 mostrou até que ponto a matemática podia insultar o senso comum quando, tratando do aprofundamento dos conceitos de *continuidade* e *dimensão*, publica a sua famosa curva, proposta como cobrindo totalmente uma superfície plana quadrangular.

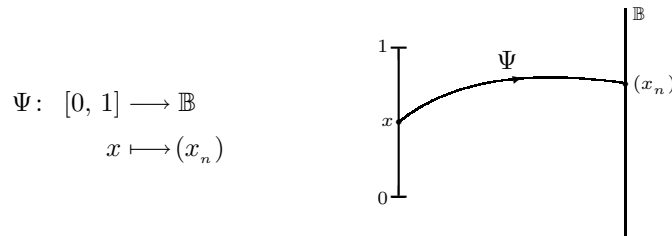
No presente trabalho construímos uma versão simplificada da curva de Peano, bem

*Dept^o de matemática da UFRR, email: gentil@dmat.ufr.br

[†]Giuseppe Peano (1858 – 1932), natural de Cuneo, Itália, foi professor da Academia Militar de Turin, com grandes contribuições à Matemática. Seu nome é lembrado hoje em conexão com os *axiomas de Peano* dos quais dependem tantas construções rigorosas da álgebra e da análise.

como o quadrado hiper-mágico, uma espécie de “inversa” desta curva.

- Inicialmente vamos definir a seguinte aplicação



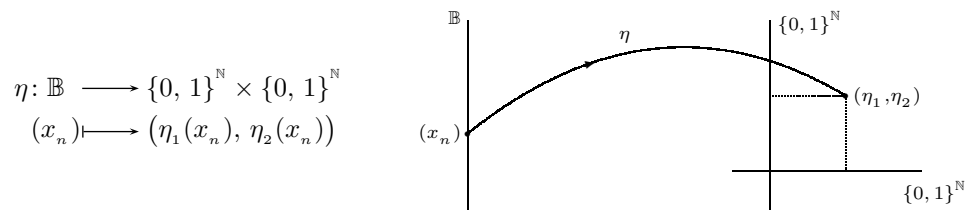
Onde associamos a cada $x \in [0, 1]$ sua representação na base binária.

Ψ é uma bijeção. De fato, é injetiva porquanto se $x \neq y$, como a representação binária é única (ver [6]), resulta que $(x_n) \neq (y_n)$, isto é, $\Psi(x) \neq \Psi(y)$.

É sobrejetiva, porquanto dado $(x_n) \in \mathbb{B}$ esta é imagem, por Ψ , de $x = \sum \frac{x_n}{2^n} \in [0, 1]$.

Portanto Ψ admite inversa: Ψ^{-1} .

- Agora vamos definir uma aplicação (η) , assim:

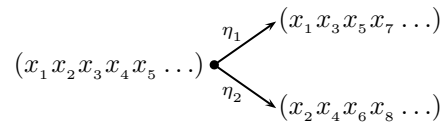


Onde $\eta_i : \mathbb{B} \longrightarrow \{0, 1\}^{\mathbb{N}}$ ($i = 1, 2.$) são dadas por

$$\eta_1((x_n)) = \eta_1(x_1 x_2 x_3 \dots) = (x_1 x_3 x_5 \dots)$$

$$\eta_2((x_n)) = \eta_2(x_1 x_2 x_3 \dots) = (x_2 x_4 x_6 \dots)$$

Isto é, η_1 toma de (x_n) sua subsequência de índices ímpares e η_2 toma de (x_n) sua subsequência de índices pares:



Dizemos que a aplicação η **demultiplexa** a seqüência (x_n) .

A aplicação η é injetiva porquanto

$$\begin{aligned} \eta(x_n) = \eta(y_n) &\Rightarrow (\eta_1(x_n), \eta_2(x_n)) = (\eta_1(y_n), \eta_2(y_n)) \\ &\Rightarrow ((x_1 x_3 x_5 \dots), (x_2 x_4 x_6 \dots)) = ((y_1 y_3 y_5 \dots), (y_2 y_4 y_6 \dots)) \\ &\Rightarrow (x_1 x_3 x_5 \dots) = (y_1 y_3 y_5 \dots); (x_2 x_4 x_6 \dots) = (y_2 y_4 y_6 \dots) \\ &\Rightarrow (x_n) = (y_n). \end{aligned}$$

A aplicação η não é sobrejetiva. De fato, por exemplo o ponto

$$(01111\dots, 01111\dots) \in \{0, 1\}^{\mathbb{N}} \times \{0, 1\}^{\mathbb{N}}$$

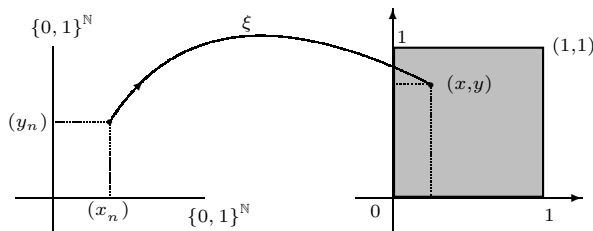
não é imagem de nenhum ponto do domínio. Portanto η não admite inversa.

- Agora vamos definir a aplicação ξ :

$$\begin{aligned} \xi: \{0, 1\}^{\mathbb{N}} \times \{0, 1\}^{\mathbb{N}} &\longrightarrow \mathbf{I} \times \mathbf{I} \\ ((x_n), (y_n)) &\longmapsto (x, y) \end{aligned}$$

onde

$$(x, y) = \left(\sum_{n=1}^{\infty} \frac{x_n}{2^n}, \sum_{n=1}^{\infty} \frac{y_n}{2^n} \right)$$



A aplicação ξ não é uma bijeção. De fato, ξ não é injetiva (ver [6]).

ξ é sobrejetiva porquanto dado $(x, y) = \left(\sum \frac{x_n}{2^n}, \sum \frac{y_n}{2^n} \right) \in \mathbf{I} \times \mathbf{I}$ este ponto é imagem, por ξ , do ponto $((x_n), (y_n)) \in \{0, 1\}^{\mathbb{N}} \times \{0, 1\}^{\mathbb{N}}$.

Compondo as aplicações anteriores, temos a seguinte curva de Peano:

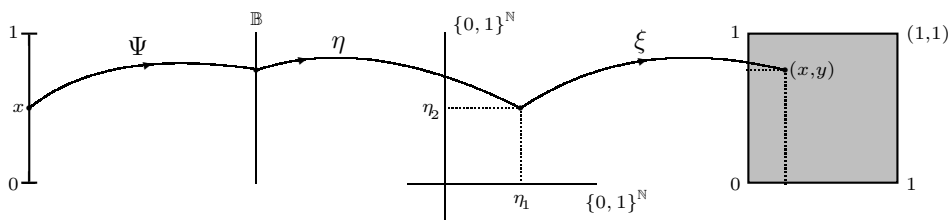
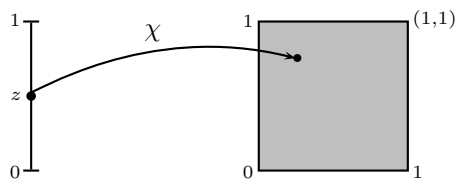


Figura 1: Curva de Peano Simplificada

Resumindo, temos



onde

$$\begin{aligned} \chi: \mathbf{I} &\longrightarrow \mathbf{I} \times \mathbf{I} \\ z &\longmapsto (x, y) \end{aligned}$$

é tal que

$$\begin{aligned} \chi = \xi \circ \eta \circ \Psi &\Rightarrow \chi(z) = (\xi \circ \eta \circ \Psi)(z) = (\xi \circ \eta)(\Psi(z)) \\ &= \xi(\eta(\Psi(z))) \end{aligned}$$

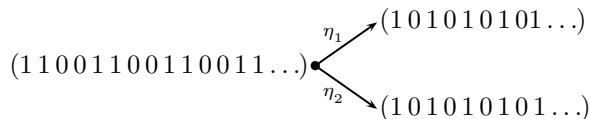
Exemplos:

(1) Calcule a imagem, por χ , de $z = 0,8$.

Desenvolvendo $0,8$ na base 2, temos: $0,8 = (11001100110011\dots)_2$.

Então $\Psi(0,8) = (11001100110011\dots)$. Acompanhe pela figura 1.

Aplicamos η à seqüência anterior:



Temos $(\eta_1, \eta_2) \in \{0, 1\}^{\mathbb{N}} \times \{0, 1\}^{\mathbb{N}}$. Agora aplicamos ξ ao ponto (η_1, η_2) : $\xi((\eta_1, \eta_2)) = (x, y)$,

onde

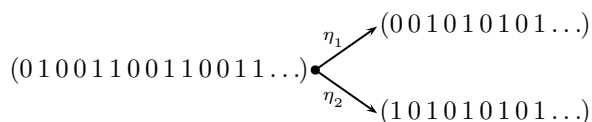
$$x = y = \frac{1}{2^1} + \frac{0}{2^2} + \frac{1}{2^3} + \frac{0}{2^4} + \dots = \frac{2}{3}$$

Portanto $\chi(0, 8) = (\frac{2}{3}, \frac{2}{3})$.

(2) Calcule a imagem, por χ , de $z = 0, 3$.

Desenvolvendo $0, 3$ na base 2, temos: $0, 3 = (01001100110011\dots)_2$.

Então $\Psi(0, 3) = (01001100110011\dots)$. Aplicamos η à seqüência anterior:

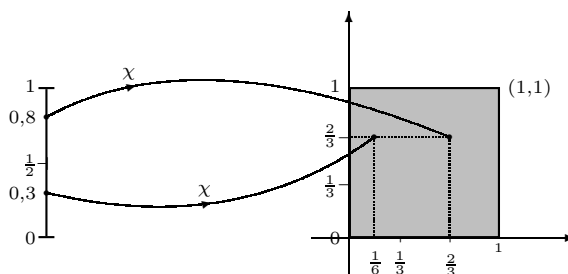


Agora aplicamos ξ ao ponto (η_1, η_2) : $\xi((\eta_1, \eta_2)) = (x, y)$, onde

$$x = \frac{0}{2^1} + \frac{0}{2^2} + \frac{1}{2^3} + \frac{0}{2^4} + \frac{1}{2^5} + \frac{0}{2^6} + \dots = \frac{1}{6}$$

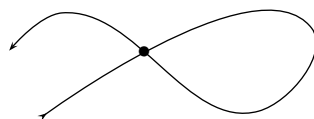
$$y = \frac{1}{2^1} + \frac{0}{2^2} + \frac{1}{2^3} + \frac{0}{2^4} + \frac{1}{2^5} + \frac{0}{2^6} + \dots = \frac{2}{3}$$

Portanto $\chi(0, 3) = (\frac{1}{6}, \frac{2}{3})$. No gráfico temos



2.1 Os pontos de auto-interseção na curva de Peano

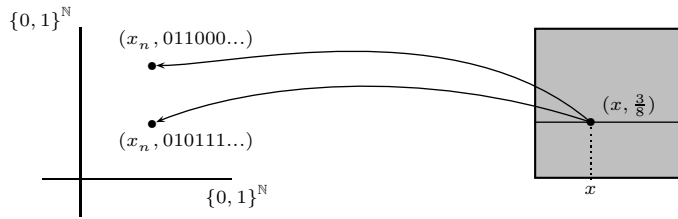
Agora mostraremos como encontrar os pontos de auto-interseção na curva de Peano:



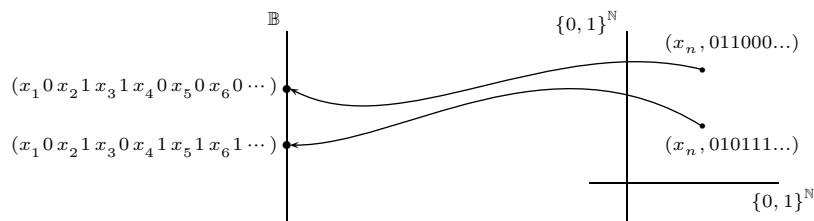
Por exemplo consideremos as igualdades:

$$\frac{0}{2^1} + \frac{1}{2^2} + \frac{1}{2^3} + \frac{0}{2^4} + \frac{0}{2^5} + \frac{0}{2^6} + \dots = \frac{3}{8} = \frac{0}{2^1} + \frac{1}{2^2} + \frac{0}{2^3} + \frac{1}{2^4} + \frac{1}{2^5} + \frac{1}{2^6} + \dots$$

Na figura seguinte escolhemos o ponto $(x, \frac{3}{8})$, isto é, fixamos a ordenada (altura) enquanto a abscissa pode variar.



Os dois pontos no diagrama à esquerda são imagens de pontos distintos em \mathbb{B} , assim:



Devemos escolher a seqüência (x_n) de tal modo que $(x_1 0 x_2 1 x_3 0 x_4 1 x_5 1 x_6 1 \dots) \in \mathbb{B}$. Por exemplo, a seqüência nula $(0000\dots)$ satisfaz este requisito. Deste modo os dois pontos seguintes

$$(00010100000\dots) = \frac{5}{32}$$

$$(00010001010\dots) = \frac{13}{192}$$

são tais que

$$\Psi\left(\frac{5}{32}\right) = \Psi\left(\frac{13}{192}\right) = \left(0, \frac{3}{8}\right).$$

Vejamos mais um exemplo:

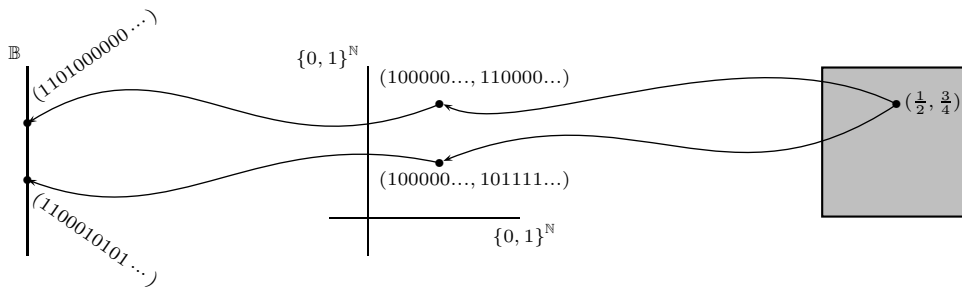
Exemplo: Encontrar os pontos do intervalo que são levados no ponto $(\frac{1}{2}, \frac{3}{4})$.

Temos as seguintes alternativas:

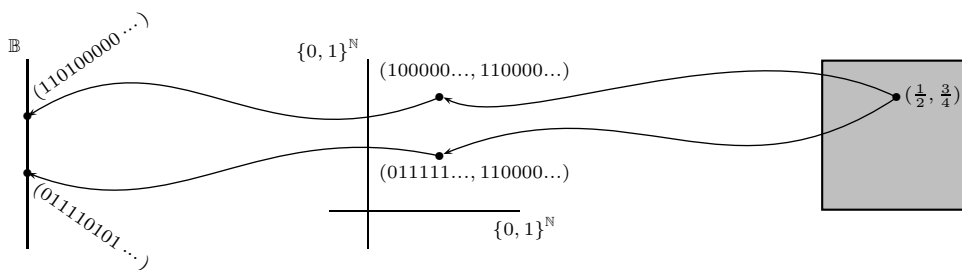
$$\left(\frac{1}{2}, \frac{3}{4}\right) \rightarrow \begin{cases} \text{VV: } (10000\dots, 11000\dots) \rightarrow (110100000\dots) \\ \text{VF: } (10000\dots, 10111\dots) \rightarrow (110001010\dots) \\ \text{FV: } (01111\dots, 11000\dots) \rightarrow (011110101\dots) \\ \text{FF: } (01111\dots, 10111\dots) \rightarrow (011011111\dots) \end{cases}$$

Onde: V significa a verdadeira codificação (da fração) em binário e F a falsa.

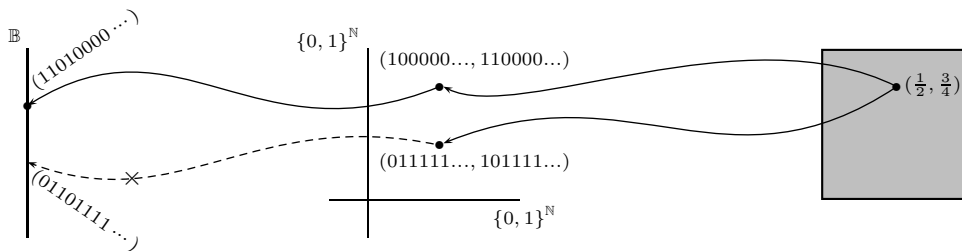
Sendo assim temos:



concluimos que $\chi(\frac{39}{48}) = \chi(\frac{37}{48}) = (\frac{1}{2}, \frac{3}{4})$. Da alternativa seguinte

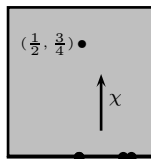


concluimos que $\chi(\frac{39}{48}) = \chi(\frac{23}{48}) = (\frac{1}{2}, \frac{3}{4})$. Da alternativa seguinte



concluimos que $\chi(\frac{39}{48}) = (\frac{1}{2}, \frac{3}{4})$. Resumindo, temos

$$\chi(\frac{39}{48}) = \chi(\frac{23}{48}) = \chi(\frac{37}{48}) = (\frac{1}{2}, \frac{3}{4})$$



Nesta figura tomamos o intervalo unitário coincidindo com a aresta inferior do quadrado.

Observe que a curva de Peano (χ) pode ser vista de uma outra perspectiva (ainda mais paradoxal): Transfere todos os pontos da aresta inferior do quadrado para o quadrado, sem deixar lugar vazio no quadrado (χ é sobrejetiva) e ainda guarda até três pontos da aresta numa mesma posição do quadrado!

Sendo (x, y) um ponto do quadrado temos as seguintes conclusões:

1ª) Se ambas as coordenadas, x e y , forem frações diádicas então, neste ponto são colocados três pontos da aresta do quadrado. De outro modo: a curva passa três vezes por pontos com ambas as coordenadas frações diádicas;

2ª) Se ambas as coordenadas, x e y , não forem frações diádicas então, neste ponto é colocado apenas um ponto da aresta do quadrado. De outro modo: a curva passa uma única vez em pontos com ambas as coordenadas não diádicas;

3ª) Se apenas uma das coordenadas, x ou y , é uma fração diádica então, neste ponto é colocado dois pontos da aresta do quadrado. De outro modo: a curva passa duas vezes em pontos com apenas uma coordenada fração diádica;

4ª) O conjunto dos pontos de auto-interseção da curva é infinito enumerável e denso no quadrado.

3 O quadrado hiper-mágico

A seguir construiremos um objeto matemático (tão *patológico* quanto a curva de Peano) o qual, em conjunto com a curva de Peano, nos permitirá transitar entre dimensões arbitrárias.

Definição 1 (Quadrado hiper-mágico). *Chama-se quadrado hiper-mágico num espaço métrico (M, d) , com M um quadrado (unitário), a uma aplicação contínua $\varphi: M \rightarrow \mathbf{I}$ injetiva e não sobrejetora. \mathbf{I} é um intervalo unitário.*

O que há de paradoxal no quadrado hiper-mágico é que conseguimos transferir todos os pontos do quadrado para sua aresta inferior (ou qualquer outra), sem sobrepor um ponto a outro e ainda sobram infinitos buracos (lacunas) na aresta!

O quadrado hiper-mágico resume-se na composição das aplicações mostradas na figura a seguir:

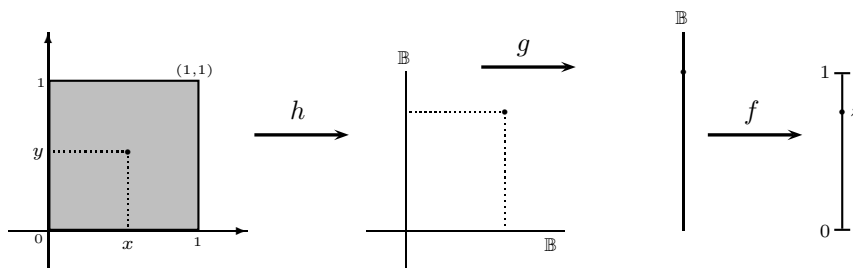


Figura 2: Quadrado hiper-mágico

Onde:

$$h: \mathbf{I} \times \mathbf{I} \longrightarrow \mathbb{B} \times \mathbb{B}$$

$$(x, y) \longmapsto ((x_n), (y_n))$$

Associa a cada ponto (x, y) do quadrado sua representação binária em $\mathbb{B} \times \mathbb{B}$.

Da unicidade da representação binária resulta que h é uma bijeção.

A aplicação

$$g: \mathbb{B} \times \mathbb{B} \longrightarrow \mathbb{B}$$

$$((x_n), (y_n)) \longmapsto (x_1 y_1 x_2 y_2 x_3 y_3 \dots)$$

executa uma **multiplexagem** das seqüências (x_n) e (y_n) .

Vamos mostrar que g é injetiva mostrando que $g(x) = g(y) \Rightarrow x = y$. De fato, sejam as seqüências: $(x_n) = g(x) = g(y) = (y_n)$.

(x_n) e (y_n) são imagens, por g , dos pares de seqüências

$$x = (u_1 u_2 u_3 \dots, v_1 v_2 v_3 \dots) \xrightarrow{g} (u_1 v_1 u_2 v_2 u_3 v_3 \dots) = (x_1 x_2 x_3 \dots)$$

$$y = (z_1 z_2 z_3 \dots, t_1 t_2 t_3 \dots) \xrightarrow{g} (z_1 t_1 z_2 t_2 z_3 t_3 \dots) = (y_1 y_2 y_3 \dots)$$

Como $(x_n) = (y_n)$ segue que

$$u_1 = z_1, \quad u_2 = z_2, \quad u_3 = z_3, \dots \Rightarrow (u_n) = (z_n)$$

$$v_1 = t_1, \quad v_2 = t_2, \quad v_3 = t_3, \dots \Rightarrow (v_n) = (t_n)$$

portanto $x = y$.

Esta aplicação não é sobrejetora, por exemplo o ponto $(011010101010\dots) \in \mathbb{B}$ não é imagem, por g , de nenhum ponto de $\mathbb{B} \times \mathbb{B}$. De fato, suponha, ao contrário, que isto aconteça; isto é que exista um ponto $((x_n), (y_n)) \in \mathbb{B} \times \mathbb{B}$ tal que $g((x_n), (y_n)) = (011010101010\dots)$, sendo assim resulta

$$(x_1 y_1 x_2 y_2 x_3 y_3 \dots) = (011010101010\dots)$$

então,

$$x_1 = 0, \quad x_2 = 1, \quad x_3 = 1, \quad x_4 = 1, \dots \Rightarrow (x_n) = (01111\dots)$$

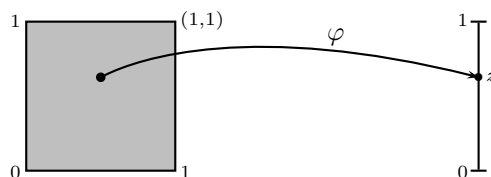
$$y_1 = 1, \quad y_2 = 0, \quad y_3 = 0, \quad y_4 = 0, \dots \Rightarrow (y_n) = (10000\dots)$$

Logo,

$$((x_n), (y_n)) = ((01111\dots), (10000\dots)) \in \mathbb{B} \times \mathbb{B},$$

o que contradiz a construção (definição) de \mathbb{B} .

Definimos a aplicação f como $f = \Psi^{-1}$ (ver pág. 2), resultando assim que f é uma bijeção. Resumindo, temos



onde

$$\begin{aligned} \varphi: \mathbf{I} \times \mathbf{I} &\longrightarrow \mathbf{I} \\ (x, y) &\longmapsto z \end{aligned}$$

é tal que

$$\begin{aligned} \varphi = f \circ g \circ h &\Rightarrow \varphi(x, y) = (f \circ g \circ h)(x, y) \\ &= (f \circ g)(h(x, y)) \\ &= f(g(h(x, y))) \end{aligned}$$

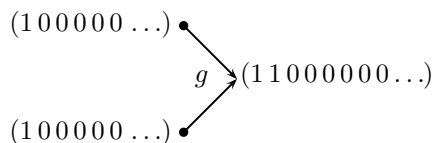
Exemplos:

(1) O centro do quadrado é transformado em que ponto de \mathbf{I} ? Isto é, calcule $\varphi(\frac{1}{2}, \frac{1}{2})$.

Acompanhe pela figura 2: Temos $(100000\dots)_2 = \frac{1}{2}$. Então

$$h\left(\frac{1}{2}, \frac{1}{2}\right) = (100000\dots, 100000\dots)$$

Aplicando g a este ponto obtemos:



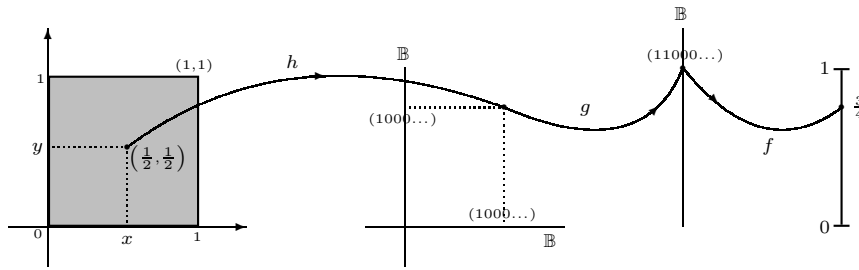
logo

$$g((100000\dots, 100000\dots)) = (11000000\dots) \in \mathbb{B}.$$

Agora entregamos a seqüência $(11000000\dots)$ a f , isto é

$$f(11000000\dots) = \frac{1}{2^1} + \frac{1}{2^2} + \frac{0}{2^3} + \frac{0}{2^4} + \frac{0}{2^5} + \dots = \frac{3}{4}$$

Finalmente, $\varphi(\frac{1}{2}, \frac{1}{2}) = \frac{3}{4}$. Geometricamente, temos



(2) Calcule $\varphi(\frac{1}{3}, \frac{1}{3})$.

Temos $\frac{1}{3} = (010101010\dots)_2$. Então

$$h\left(\frac{1}{3}, \frac{1}{3}\right) = (010101010\dots, 010101010\dots)$$

Aplicando g a este ponto obtemos:

$$\begin{matrix} (010101010\dots) \\ (010101010\dots) \end{matrix} \xrightarrow{g} (001100110011\dots)$$

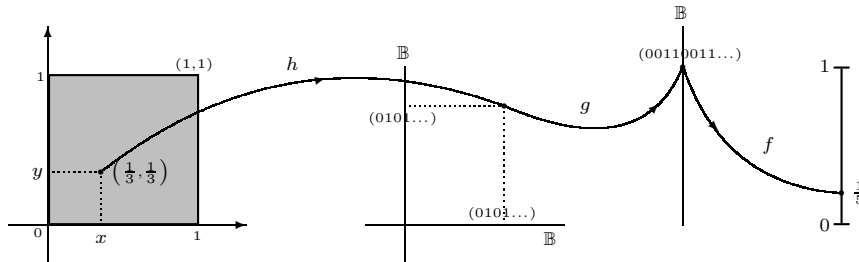
Logo,

$$g((010101010\dots, 010101010\dots)) = (001100110011\dots)$$

Entregando esta última seqüência a f , temos

$$\begin{aligned} f(001100110011\dots) &= \frac{0}{2^1} + \frac{0}{2^2} + \frac{1}{2^3} + \frac{1}{2^4} + \frac{0}{2^5} + \frac{0}{2^6} + \frac{1}{2^7} + \frac{1}{2^8} + \dots \\ &= \left(\frac{1}{2^3} + \frac{1}{2^7} + \frac{1}{2^{11}} + \dots\right) + \left(\frac{1}{2^4} + \frac{1}{2^8} + \frac{1}{2^{12}} + \dots\right) \\ &= \frac{2}{15} + \frac{1}{15} = \frac{1}{5} \end{aligned}$$

Portanto $\varphi(\frac{1}{3}, \frac{1}{3}) = \frac{1}{5}$. Geometricamente, temos



3.1 Como encontrar buracos (lacunas) na aresta do quadrado

Mostraremos agora como encontrar pontos na aresta $[0, 1] \times \{0\}$ que não são imagens, por φ , de pontos do quadrado. Inicialmente observe que sendo f uma bijeção a cada buraco em \mathbb{B} corresponde um buraco em $[0, 1]$. Para construir um buraco no intervalo basta construir um em \mathbb{B} , como por exemplo, $\mathbb{B} \ni (0110101010\dots) = \frac{5}{12} \in [0, 1]$. O diagrama a seguir sugere como construir uma quantidade infinita de buracos:

$$\begin{aligned} & \left\{ \begin{array}{l} (0111111\dots) \\ (0000000\dots) \end{array} \right. \rightarrow (001010101010\dots) \in \mathbb{B} \\ & \left\{ \begin{array}{l} (0011111\dots) \\ (0000000\dots) \end{array} \right. \rightarrow (000010101010\dots) \in \mathbb{B} \\ & \left\{ \begin{array}{l} (0001111\dots) \\ (0000000\dots) \end{array} \right. \rightarrow (000000101010\dots) \in \mathbb{B} \end{aligned}$$

Os pontos à direita não são imagens, por g , de pontos de $\mathbb{B} \times \mathbb{B}$, por conseguinte suas imagens, por f , são vazios (buracos) em $[0, 1]$.

De modo geral, para “gerar” um buraco na aresta tome no quadrado um ponto (x, y) no qual apenas uma das coordenadas é fração diádica. Sendo assim temos as seguintes possibilidades:

$$(x, y): \begin{cases} V: \mathbb{B} \times \mathbb{B} \\ F: \mathbb{B} \times \{0, 1\}^{\mathbb{N}} \text{ ou } \{0, 1\}^{\mathbb{N}} \times \mathbb{B} \end{cases}$$

A verdadeira (V) codificação do par (x, y) está no conjunto $\mathbb{B} \times \mathbb{B}$ e a falsa (F) em $\mathbb{B} \times \{0, 1\}^{\mathbb{N}}$ se y for a fração diádica ou em $\{0, 1\}^{\mathbb{N}} \times \mathbb{B}$ se x for a fração diádica. Pois bem, a codificação verdadeira vai para um ponto da aresta (ou do intervalo) e a falsa “vai” para um buraco.

Esclarecendo melhor: Dado $(x, y) \in \mathbf{I}^2$ no qual x ou (exclusivo) y é fração diádica temos, para este ponto, uma codificação legítima (x_n, y_n) e uma espúria (x'_n, y'_n) . Temos que (x'_n) ou (y'_n) (dependendo de quem seja fração diádica se x ou se y) tem todos os termos iguais a 1 a partir de alguma posição, enquanto que a outra seqüência, não sendo oriunda de uma fração diádica, tem um 0 e também um 1 em posições arbitrariamente grandes. Logo ao se multiplexar (x'_n, y'_n) resulta um ponto em \mathbb{B} e a este um buraco na aresta.

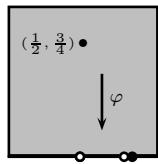
Se no par (x, y) tivermos duas coordenadas diádicas, teremos as seguintes possibilidades:

$$(x, y): \begin{cases} VV: \mathbb{B} \times \mathbb{B} \rightarrow \text{gera ponto} \\ VF: \mathbb{B} \times \{0, 1\}^{\mathbb{N}} \rightarrow \text{gera buraco} \\ FV: \{0, 1\}^{\mathbb{N}} \times \mathbb{B} \rightarrow \text{gera buraco} \\ FF: \{0, 1\}^{\mathbb{N}} \times \{0, 1\}^{\mathbb{N}} \Rightarrow \notin \mathbb{B}. \end{cases}$$

Seendo (x, y) um ponto do quadrado temos as seguintes conclusões:

- 1ª) Se ambas as coordenadas, x e y , forem frações diádicas então este ponto vai para um ponto da aresta e “gera” dois buracos;
- 2ª) Se ambas as coordenadas, x e y , não forem frações diádicas então este ponto vai para um ponto do intervalo e não “gera” nenhum buraco;
- 3ª) Se apenas uma das coordenadas, x ou y , é uma fração diádica então este ponto vai para um ponto do intervalo e “gera” um buraco;
- 4ª) o conjunto dos buracos é infinito enumerável, porquanto o conjunto dos pontos $(x, y) \in \mathbf{I}^2$ com coordenadas diádicas é enumerável.

Exemplo: Tendo em conta o exemplo dado à pág. 6 o ponto $(\frac{1}{2}, \frac{3}{4})$ vai, por φ , para o ponto $\frac{39}{48}$ e gera os buracos $\frac{23}{48}$ e $\frac{37}{48}$, assim:



Pode ser provado que o conjunto destes buracos é denso na aresta do quadrado (ou ainda, no intervalo $[0, 1]$). Isto significa que, fixado arbitrariamente um ponto da aresta, ou este é um buraco ou arbitrariamente próximo deste encontra-se um buraco.

Não é difícil mostrar que todas as aplicações definidas anteriormente são contínuas.

4 A curva de Peano no cubo

De modo inteiramente análogo, podemos construir uma curva de Peano χ entre o intervalo unitário e o cubo unitário $[0, 1]^3$, assim:

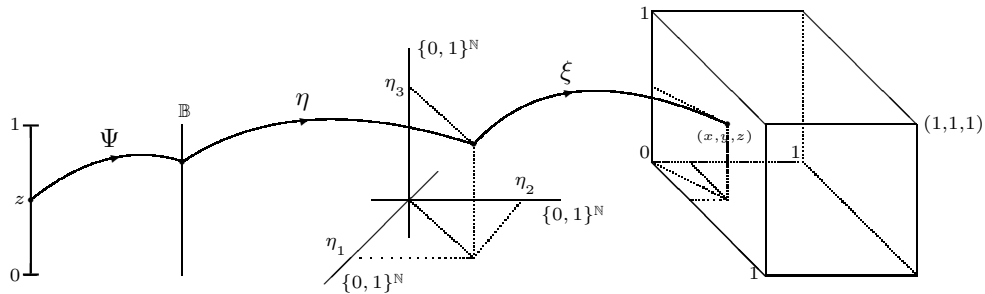


Figura 3: Curva de Peano no Cubo

Nesta figura η faz uma demultiplexagem de uma seqüência $(x_n) \in \mathbb{B}$. Isto é, η toma

uma seqüência (x_n) e a separa em três subseqüências

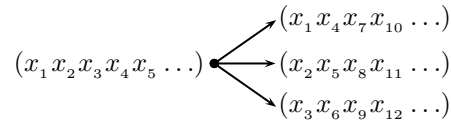
$$\eta((x_n)) = (\eta_1(x_n), \eta_2(x_n), \eta_3(x_n))$$

Então podemos tomar:

$$\eta_1(x_1 x_2 x_3 \dots) = (x_1 x_4 x_7 x_{10} \dots)$$

$$\eta_2(x_1 x_2 x_3 \dots) = (x_2 x_5 x_8 x_{11} \dots)$$

$$\eta_3(x_1 x_2 x_3 \dots) = (x_3 x_6 x_9 x_{12} \dots)$$



Exemplos:

(1) Calcule a imagem, por χ , de $x = 0,5$.

Desenvolvendo 0,5 na base 2, temos $(1000000\dots)_2 = \frac{1}{2}$.

Então $\Psi(0,5) = (1000000\dots)$. Agora aplicamos η à seqüência anterior, assim

$$\eta_1(1000000\dots) = (1000000\dots)$$

$$\eta_2(1000000\dots) = (0000000\dots)$$

$$\eta_3(1000000\dots) = (0000000\dots)$$

Agora aplicamos ξ ao ponto (η_1, η_2, η_3) : $\xi((\eta_1, \eta_2, \eta_3)) = (x, y, z)$, obtendo $\chi(\frac{1}{2}) = (\frac{1}{2}, 0, 0)$.

(2) Calcule a imagem, por χ , de $x = 2/3$.

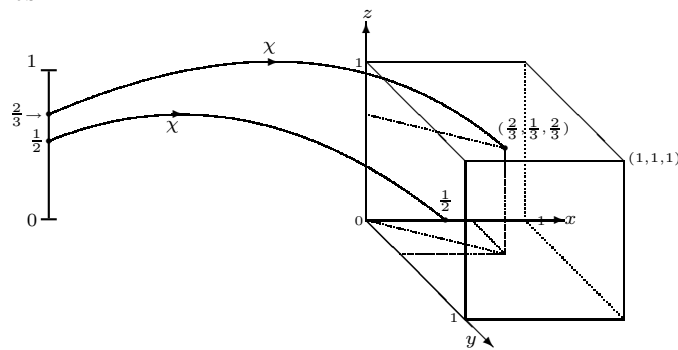
Desenvolvendo $2/3$ na base 2, obtemos $\frac{2}{3} = (1010101010\dots)_2$. Então $\Psi(2/3) = (1010101010\dots)$. Aplicamos η à seqüência anterior:

$$\eta_1(1010101010\dots) = (1010101\dots)$$

$$\eta_2(1010101010\dots) = (0101010\dots)$$

$$\eta_3(1010101010\dots) = (1010101\dots)$$

Agora aplicamos ξ ao ponto (η_1, η_2, η_3) : $\xi((\eta_1, \eta_2, \eta_3)) = (x, y, z)$, obtendo $\chi(\frac{2}{3}) = (\frac{2}{3}, \frac{1}{3}, \frac{2}{3})$. Graficamente, temos



(3) Encontre todos os pontos do intervalo que são transferidos, por χ , para o centro do cubo. Isto é, resolva a equação $\chi(x) = (\frac{1}{2}, \frac{1}{2}, \frac{1}{2})$.

Temos as seguintes alternativas:

$$\left(\frac{1}{2}, \frac{1}{2}, \frac{1}{2}\right) \rightarrow \begin{cases} \text{VVV: } (1000\dots, 1000\dots, 1000\dots) \longrightarrow (111 \mathbf{000000}\dots) \\ \text{VVF: } (1000\dots, 1000\dots, 0111\dots) \longrightarrow (110 \mathbf{001001}\dots) \\ \text{VfV: } (1000\dots, 0111\dots, 1000\dots) \longrightarrow (101 \mathbf{010010}\dots) \\ \text{VFF: } (1000\dots, 0111\dots, 0111\dots) \longrightarrow (100 \mathbf{011011}\dots) \\ \text{FVv: } (0111\dots, 1000\dots, 1000\dots) \longrightarrow (011 \mathbf{100100}\dots) \\ \text{FVF: } (0111\dots, 1000\dots, 0111\dots) \longrightarrow (010 \mathbf{101101}\dots) \\ \text{FFV: } (0111\dots, 0111\dots, 1000\dots) \longrightarrow (001 \mathbf{110110}\dots) \\ \text{FFF: } (0111\dots, 0111\dots, 0111\dots) \longrightarrow (000 \mathbf{111111}\dots) \end{cases}$$

Destas, apenas uma combinação (FFF) não pertence a \mathbb{B} , portanto não é oriunda da codificação de nenhum ponto do intervalo $[0, 1]$, sendo assim temos:

$$\chi\left(\frac{49}{56}\right) = \chi\left(\frac{43}{56}\right) = \chi\left(\frac{37}{56}\right) = \chi\left(\frac{31}{56}\right) = \chi\left(\frac{25}{56}\right) = \chi\left(\frac{19}{56}\right) = \chi\left(\frac{13}{56}\right) = \left(\frac{1}{2}, \frac{1}{2}, \frac{1}{2}\right)$$

Sendo (x, y, z) um ponto do cubo temos as seguintes conclusões:

- 1^a) Se as três coordenadas, x , y e z , forem frações diádicas então, neste ponto são colocados sete pontos da aresta do cubo. De outro modo: a curva passa sete vezes por pontos com as três coordenadas diádicas;
- 2^a) Se apenas duas coordenadas forem frações diádicas então, neste ponto são colocados quatro pontos da aresta do cubo. De outro modo: a curva passa quatro vezes por pontos com duas coordenadas diádicas;
- 3^a) Se apenas uma coordenada for fração diádica então, neste ponto são colocados dois pontos da aresta do cubo. De outro modo: a curva passa duas vezes por pontos com uma coordenada diádica;
- 4^a) Se nenhuma das coordenadas é diádica então, neste ponto é colocado um único ponto da aresta do quadrado. De outro modo: a curva passa uma única vez em pontos com nenhuma coordenada diádica;
- 5^a) O conjunto dos pontos de auto-interseção da curva é infinito enumerável e denso no cubo.

5 O cubo hiper-mágico

A exemplo do que foi feito para o quadrado também podemos transferir todos os pontos do cubo para uma de suas arestas. Sendo que esta transformação cumpre as mesmas condições que a do quadrado: é contínua, injetiva e não sobrejetiva.

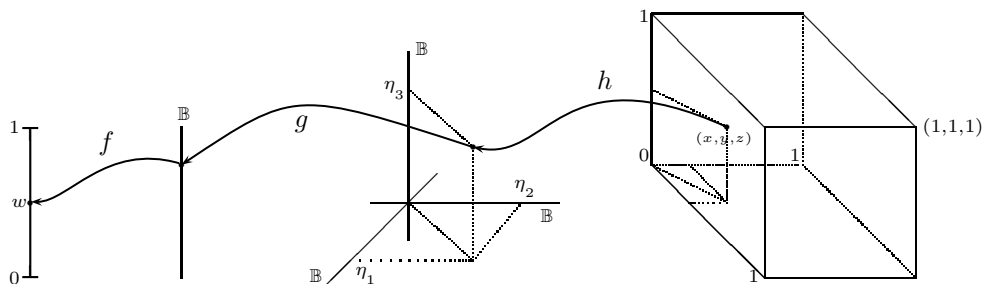


Figura 4: Cubo hiper-mágico

Exemplos:(1) Calcule $\varphi(0, 0, \frac{1}{2})$.Temos $\frac{1}{2} = (10000000\dots)_2$. Logo

$$h\left(0, 0, \frac{1}{2}\right) = (000000\dots, 000000\dots, 100000\dots)$$

- Agora aplicamos, ao ponto anterior, g :

$$g((000000\dots, 000000\dots, 100000\dots)) = (00100000\dots)$$

- Agora aplicamos, à seqüência anterior, f . Então

$$f((00100000\dots)) = \frac{0}{2^1} + \frac{0}{2^2} + \frac{1}{2^3} + \frac{0}{2^4} + \frac{0}{2^5} + \dots = \frac{1}{8}.$$

Portanto, $\varphi(0, 0, \frac{1}{2}) = \frac{1}{8}$.(2) Calcule $\varphi(\frac{1}{2}, \frac{1}{2}, \frac{1}{2})$.Temos $\frac{1}{2} = (10000000\dots)_2$. Logo

$$h\left(\frac{1}{2}, \frac{1}{2}, \frac{1}{2}\right) = (100000\dots, 100000\dots, 100000\dots)$$

- Agora aplicamos, ao ponto anterior, g . Portanto

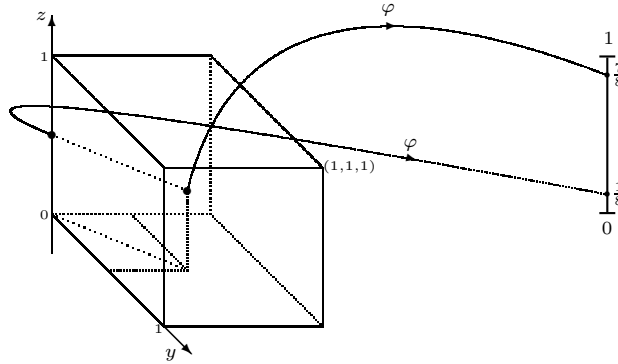
$$g((100000\dots, 100000\dots, 100000\dots)) = (11100000\dots)$$

- Agora aplicamos, à seqüência anterior, f . Então

$$f((11100000\dots)) = \frac{1}{2^1} + \frac{1}{2^2} + \frac{1}{2^3} + \frac{0}{2^4} + \frac{0}{2^5} + \dots = \frac{1}{2} + \frac{1}{4} + \frac{1}{8} = \frac{7}{8}.$$

Portanto, $\varphi(\frac{1}{2}, \frac{1}{2}, \frac{1}{2}) = \frac{7}{8}$.

Graficamente, temos



Deste exemplo e do exemplo (3) (pág. 15) concluímos que o centro do cubo vai para o ponto 7/8 e gera sete buracos na aresta do cubo (ou no intervalo unitário).

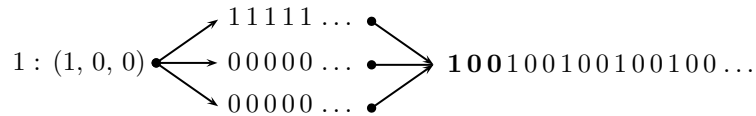
Observe que paradoxal: A exemplo do que ocorreu no quadrado hiper-mágico aqui também conseguimos, por φ , transferir o cubo para uma de suas arestas, com a “agravante” de que agora “mais” buracos serão gerados na aresta. Por exemplo um ponto $(x, y) \in \mathbf{I}^2$ com ambas as coordenadas diádicas gera dois buracos na aresta do quadrado; por outro lado um ponto $(x, y, z) \in \mathbf{I}^3$ com duas coordenadas diádicas gera quatro buracos na aresta do cubo e com três coordenadas diádicas gera sete buracos. Resumindo: estamos transferindo para a aresta um “volume” maior de pontos enquanto o número de lugares vazios na aresta aumenta.

Na figura a seguir transferimos, a título de exemplo, os oito vértices do cubo e mais o seu centro para a aresta 5 – 6. A seguir mostramos os cálculos para transferir o vértice 1:

Vértices:

- 1 : (1, 0, 0), 2 : (1, 1, 0), 3 : (1, 1, 1), 4 : (1, 0, 1)
 5 : (0, 0, 0), 6 : (0, 1, 0), 7 : (0, 1, 1), 8 : (0, 0, 1), 9 : $(\frac{1}{2}, \frac{1}{2}, \frac{1}{2})$.

- Imagens dos vértices por φ

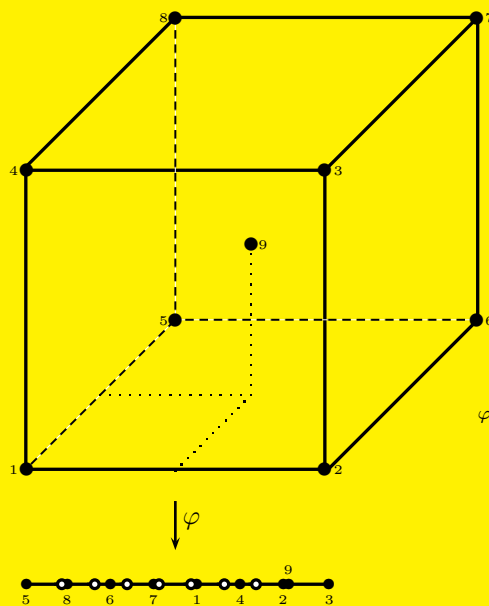


$$\begin{aligned} \varphi(1) &= \frac{1}{2^1} + \frac{0}{2^2} + \frac{0}{2^3} + \frac{1}{2^4} + \frac{0}{2^5} + \frac{0}{2^6} + \frac{1}{2^7} + \frac{0}{2^8} + \frac{0}{2^9} + \dots \\ &= \frac{1}{2^1} + \frac{1}{2^4} + \frac{1}{2^7} + \dots = \frac{\frac{1}{2}}{1 - \frac{1}{2^3}} = \frac{4}{7} \simeq 0,5714 \end{aligned}$$

$$2 : (1, 1, 0) \begin{cases} \rightarrow 11111\dots \\ \rightarrow 11111\dots \\ \rightarrow 00000\dots \end{cases} \rightarrow 110110110110110\dots$$

$$\begin{aligned} \varphi(2) &= \frac{1}{2^1} + \frac{1}{2^2} + \frac{0}{2^3} + \frac{1}{2^4} + \frac{1}{2^5} + \frac{0}{2^6} + \frac{1}{2^7} + \frac{1}{2^8} + \frac{0}{2^9} + \dots \\ &= \left(\frac{1}{2^1} + \frac{1}{2^4} + \frac{1}{2^7} + \dots\right) + \left(\frac{1}{2^2} + \frac{1}{2^5} + \frac{1}{2^8} + \dots\right) \\ &= \frac{\frac{1}{2}}{1 - \frac{1}{2^3}} + \frac{\frac{1}{2^2}}{1 - \frac{1}{2^3}} = \frac{4}{7} + \frac{2}{7} = \frac{6}{7} \simeq 0,8571 \end{aligned}$$

Cubo Hiper-Mágico



“Tudo isso, que à primeira vista parece excesso de irrazão, na verdade é o efeito da finura e da extensão do espírito humano e o método para encontrar verdades até então desconhecidas.” **Voltaire (17ª Carta)**

$$\varphi : [0, 1]^3 \rightarrow [0, 1]$$

Nota: Os sete buracos constantes na aresta foram abertos pelo cntro do cubo.

Naturalmente que, o que foi feito para o quadrado e o cubo, se estende sem dificuldade ao “hipercubo”.

6 Inserindo dimensões arbitrárias dentro de dimensões arbitrárias

As aplicações χ e φ , conjuntamente, nos permitem *inserir* dimensões arbitrárias “dentro” de dimensões arbitrárias. Por exemplo para inserir um cubo a dez dimensões em um cubo a três dimensões proceda assim:

$$[0, 1]^{10} \xrightarrow{\varphi} [0, 1] \xrightarrow{\chi} [0, 1]^3$$

Para inserir um cubo a três dimensões em um cubo a 10 dimensões proceda assim:

$$[0, 1]^{10} \xleftarrow{\chi} [0, 1] \xleftarrow{\varphi} [0, 1]^3$$

7 Possíveis aplicações na Teoria das Supercordas

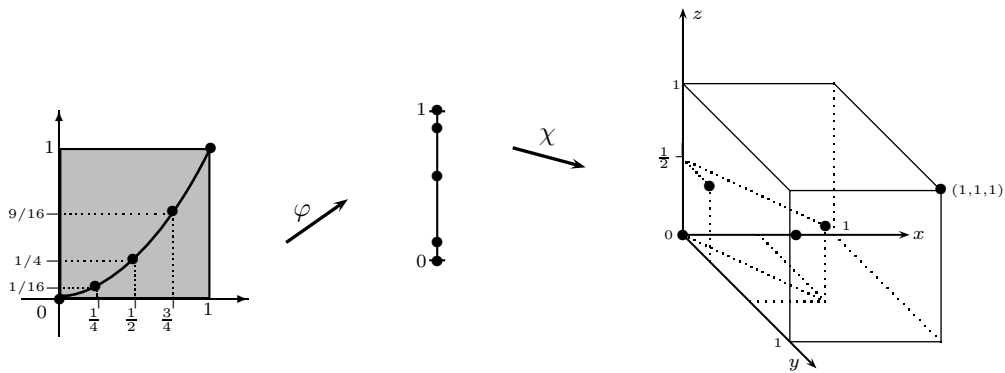
Estivemos a imaginar possíveis aplicações práticas para estas construções*. Deixamos registrado aqui uma sugestão: a Teoria das Supercordas só possui consistência em um Universo *multidimensional*. O problema é saber como um Universo multidimensional se inter-relaciona com as dimensões conhecidas. Nossa sugestão (conjectura) é que as dimensões extras foram multiplexadas.

Por outro lado acredito que, para interpretarmos corretamente a realidade, basta que haja um “isomorfismo” (identidade) entre nossos modelos (matemáticos) e o pedaço da realidade em consideração. Isto é, não é necessário que a natureza se comporte exatamente tal qual nossos modelos.

Com estas técnicas (multiplexação/demultiplexação) não apenas fazemos uma transposição de dimensões (isto é, de um espaço em outro), como podemos transferir uma corda (ou uma p -brana) de uma dimensão à outra. Vejamos um exemplo do que estamos falando. Suponhamos que um ramo (pedaço) de uma corda (uma-brana) seja dado pelo gráfico da função $f: [0, 1] \rightarrow [0, 1]$ dada por $f(x) = x^2$. Vamos transferir os cinco pontos seguintes desta curva, para a terceira dimensão (para $[0, 1]^3$), assim

*Encontramos na internet um artigo intitulado: “Compressão de Imagens Usando Transformada de Wavelet e Curva de Peano-Hilbert.”

$$\begin{aligned}
 (0, 0): & \begin{cases} 000000\dots \\ 000000\dots \end{cases} \Rightarrow 00000000\dots \Rightarrow \begin{cases} 00000\dots, x = 0 \\ 00000\dots, y = 0 \\ 00000\dots, z = 0 \end{cases} \\
 (\frac{1}{4}, \frac{1}{16}): & \begin{cases} 010000\dots \\ 000100\dots \end{cases} \Rightarrow 001000010\dots \Rightarrow \begin{cases} 00000\dots, x = 0 \\ 00100\dots, y = \frac{1}{4} \\ 10000\dots, z = \frac{1}{2} \end{cases} \\
 (\frac{1}{2}, \frac{1}{4}): & \begin{cases} 100000\dots \\ 010000\dots \end{cases} \Rightarrow 10010000\dots \Rightarrow \begin{cases} 11000\dots, x = \frac{3}{4} \\ 00000\dots, y = 0 \\ 00000\dots, z = 0 \end{cases} \\
 (\frac{3}{4}, \frac{9}{16}): & \begin{cases} 110000\dots \\ 100100\dots \end{cases} \Rightarrow 111000010\dots \Rightarrow \begin{cases} 10000\dots, x = \frac{1}{2} \\ 10100\dots, y = \frac{5}{8} \\ 10000\dots, z = \frac{1}{2} \end{cases} \\
 (1, 1): & \begin{cases} 111111\dots \\ 111111\dots \end{cases} \Rightarrow 11111111\dots \Rightarrow \begin{cases} 11111\dots, x = 1 \\ 11111\dots, y = 1 \\ 11111\dots, z = 1 \end{cases}
 \end{aligned}$$



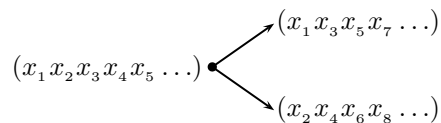
8 Apêndice/Partição dos naturais

Se quisermos retirar duas subseqüências de uma dada seqüência (x_n) podemos nos valer dos seguintes conjuntos de índices:

$$\mathbb{N}_1 = \{1, 3, 5, 7, \dots\}$$

$$\mathbb{N}_2 = \{2, 4, 6, 8, \dots\}$$

Assim,



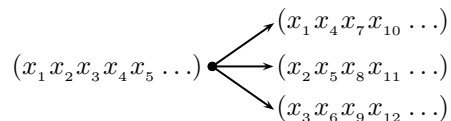
Se quisermos retirar três subsequências de uma dada seqüência podemos nos valer dos seguintes conjuntos de índices:

$$\mathbb{N}_1 = \{1, 4, 7, 10, \dots\}$$

$$\mathbb{N}_2 = \{2, 5, 8, 11, \dots\}$$

$$\mathbb{N}_3 = \{3, 6, 9, 12, \dots\}$$

Assim,



É fácil inferir a regra de construção destes conjuntos.

Observamos que estes conjuntos (de índices) são disjuntos, dois a dois, e que a reunião dos mesmos resulta no conjunto dos naturais. Resumimos estas duas observações dizendo que estes conjuntos formam uma *partição* dos naturais.

Agradecimentos: A Deus por ter me concedido gestar e dar à luz a este trabalho. Isto é, assentar este tijolinho em sua magnanima obra.

Referências

- [1] Greene, Brian. *O Universo Elegante*. Cia. das Letras, 2001.
- [2] Gell-Mann, M. *O Quark e o Jaguar*. Rio de Janeiro, Rocco, 1996.
- [3] Weinberg, S. *Sonhos de uma Teoria Final*. Rio de Janeiro, Rocco, 1996.
- [4] Kaku, M. *Into the Eleventh Dimension*, in New Scientist, janeiro de 1997, p. 32.
- [5] Lima, Elon Lages. *Espaços Métricos*. Rio de Janeiro:IMPA - CNPq,1993.
- [6] Silva, Gentil Lopes. *O Mito das Ambigüidades nas Representações Decimais*, CBPF-NF-001/06.